

J. Lille  
SJO920000168US3  
Sheet 1/10

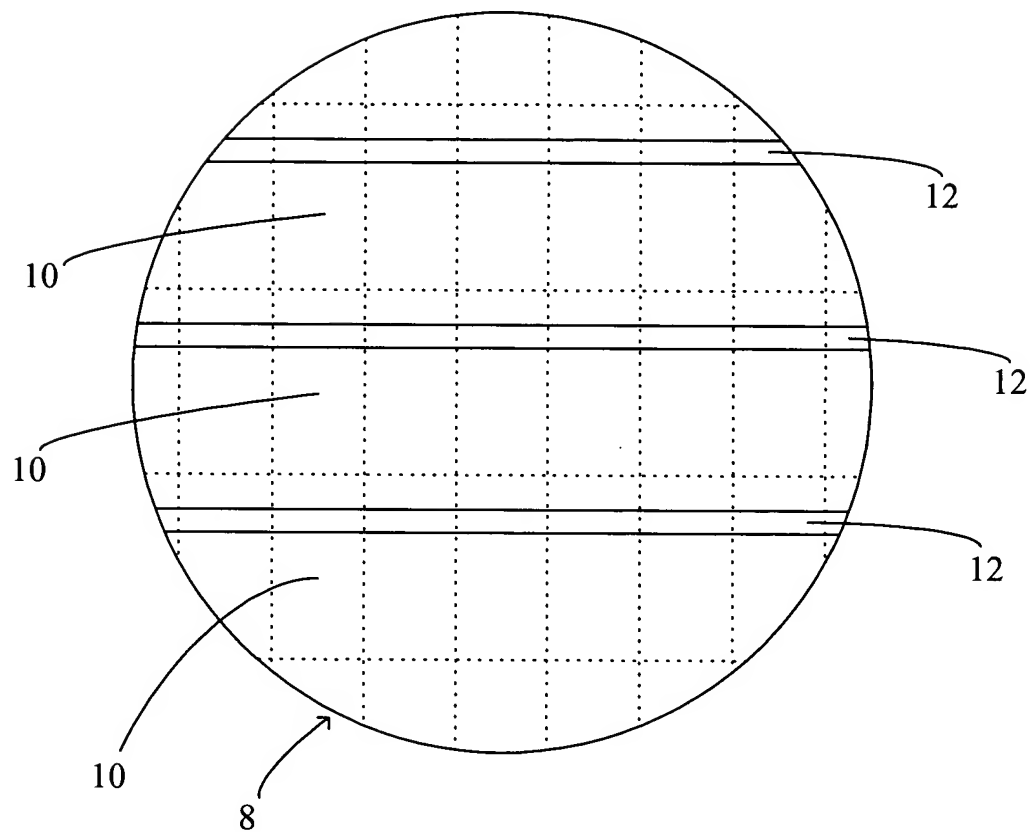


Fig. 1

J. Lille  
SJO920000168US3  
Sheet 2/10

Fig. 2(a)

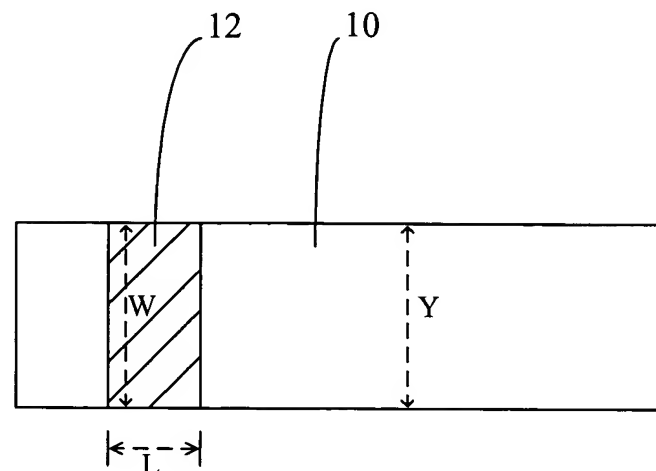
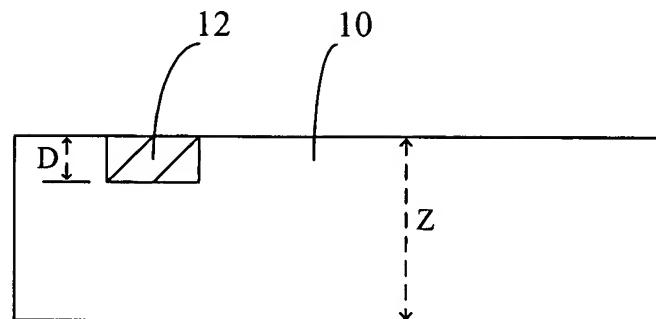


Fig. 2(b)



J. Lille  
SJO920000168US3  
Sheet 3/10

Fig. 3

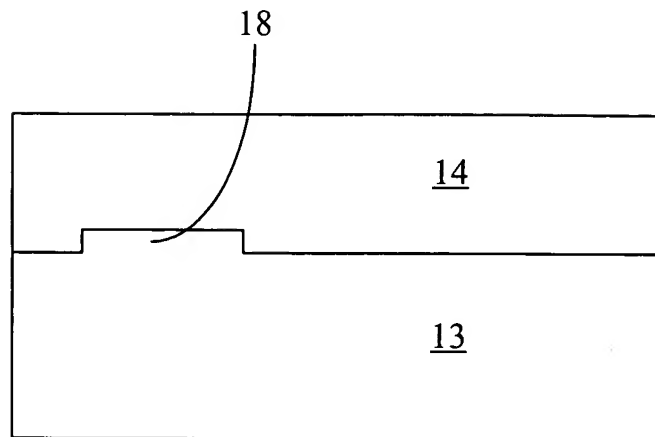
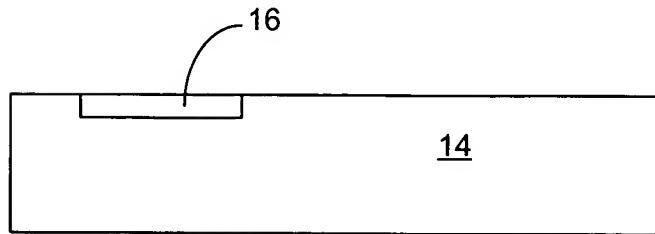


Fig. 4



J. Lille  
SJO920000168US3  
Sheet 4/10

Fig. 5(a)

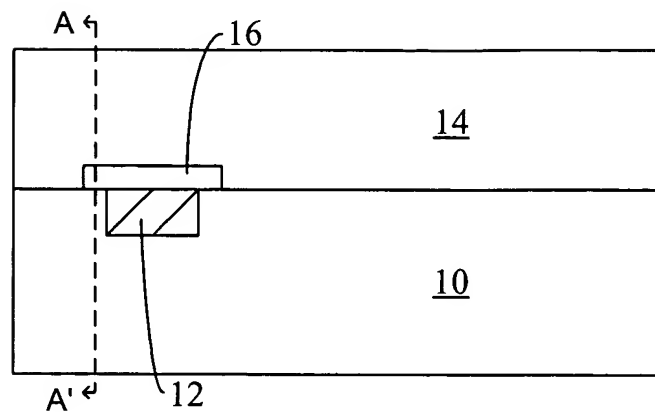


Fig. 5(b)

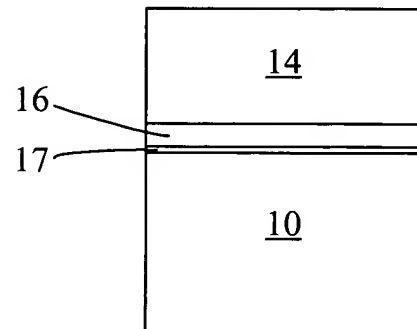
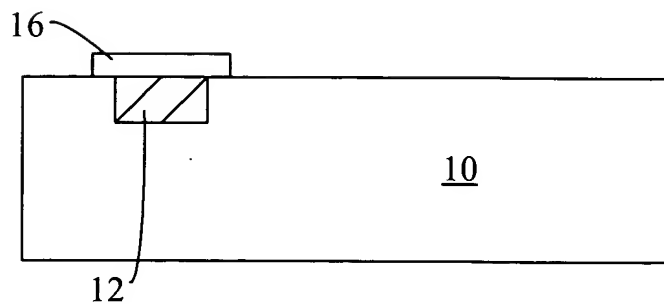


Fig. 6



J. Lille  
SJO920000168US3  
Sheet 5/10

Fig. 7(a)

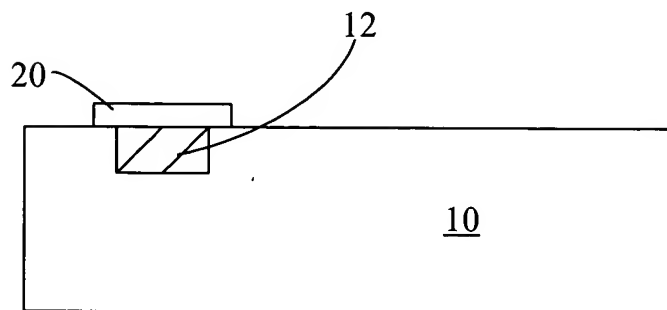


Fig. 7(b)

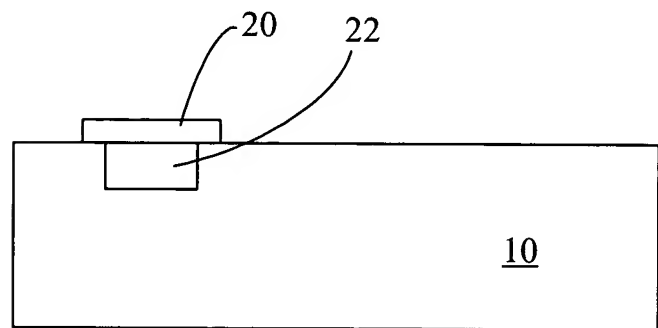
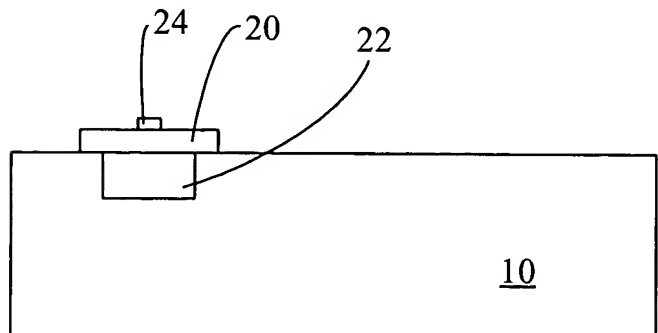


Fig. 8(a)



J. Lille  
SJO920000168US3  
Sheet 6/10

Fig. 8(b)

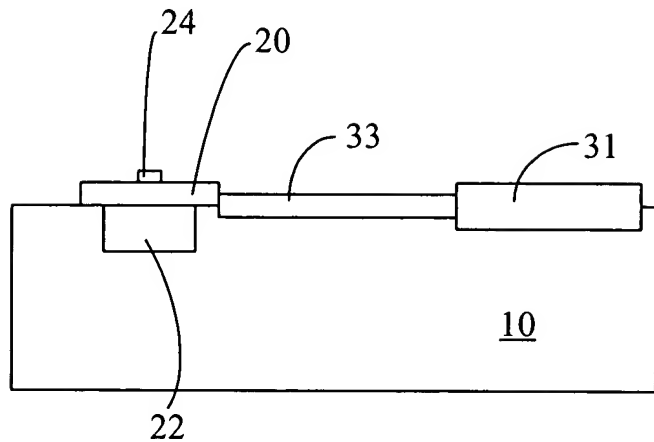
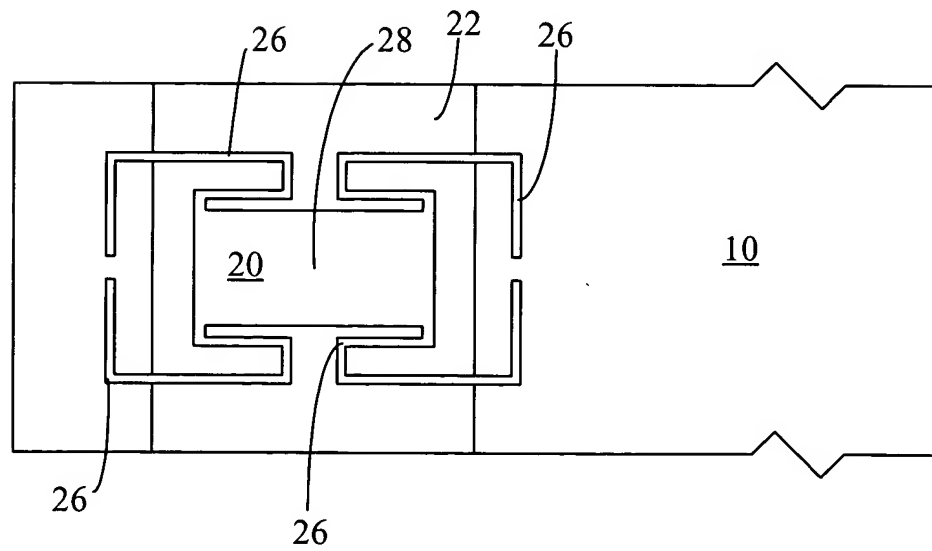


Fig. 9



J. Lille  
SJO920000168US3  
Sheet 7/10

Fig. 10(a)

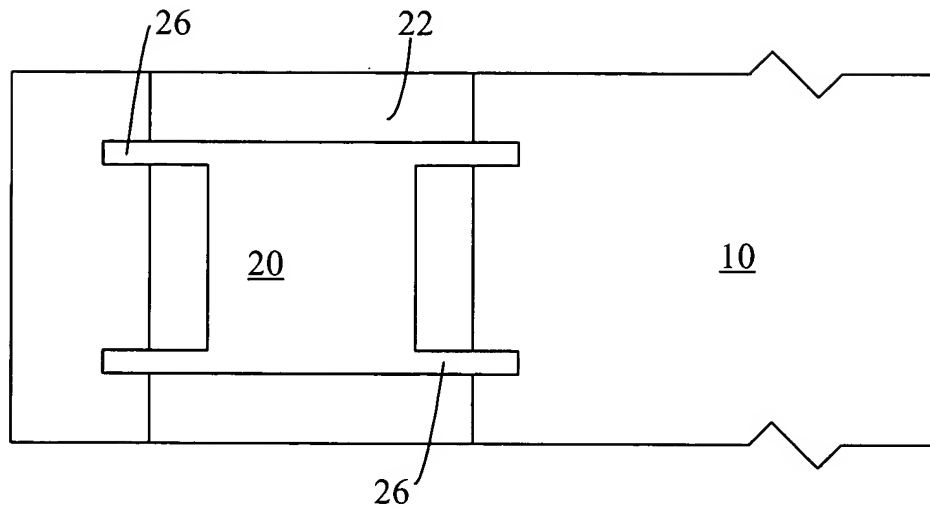
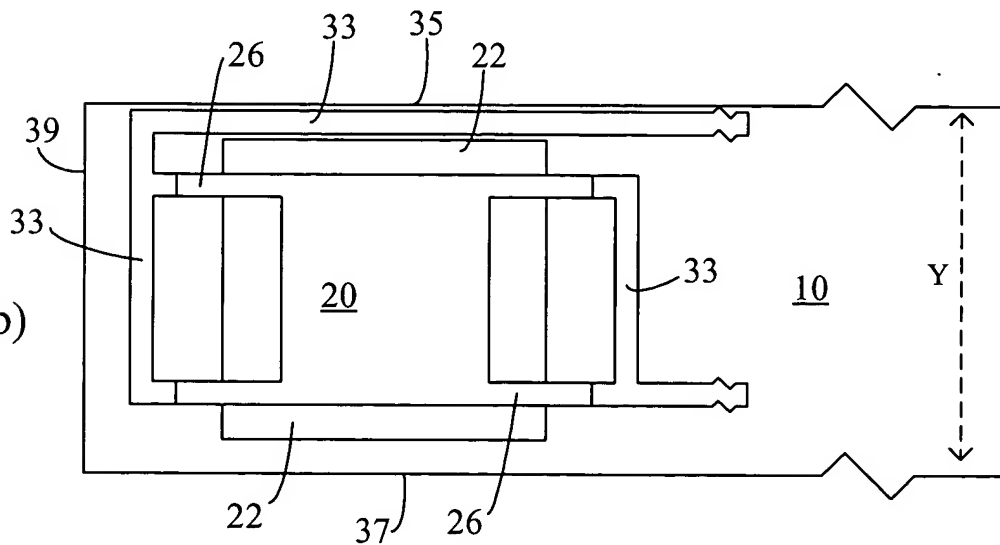
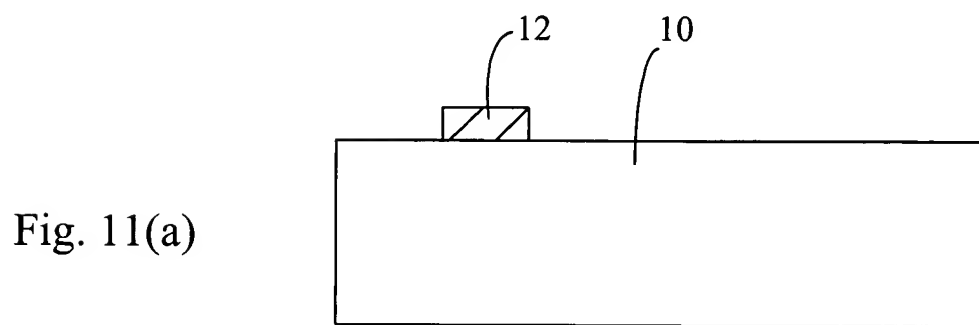
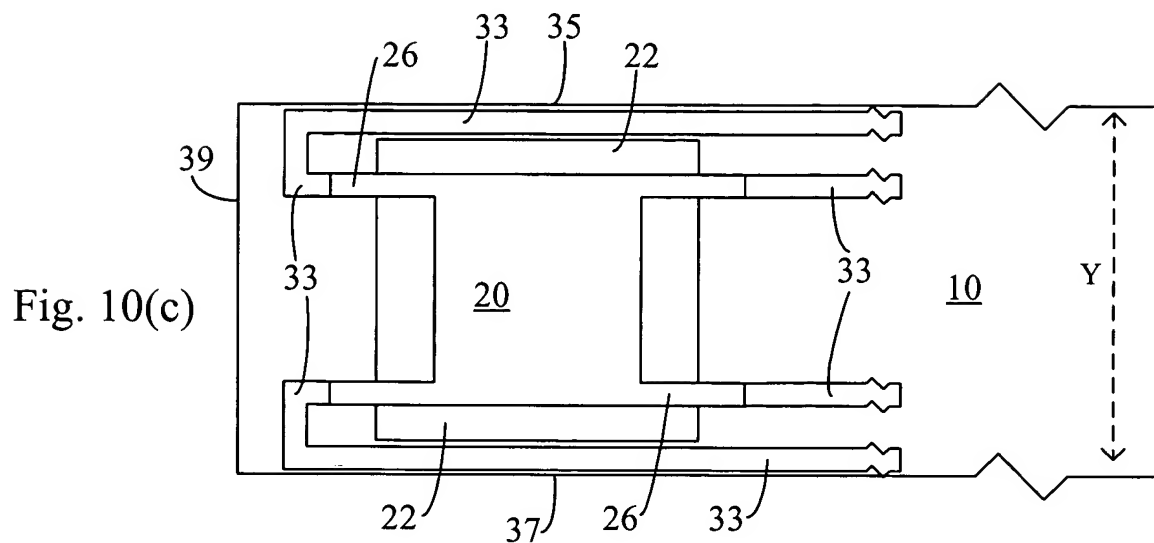


Fig. 10(b)



J. Lille  
SJO920000168US3  
Sheet 8/10



J. Lille  
SJO920000168US3  
Sheet 9/10

Fig. 11(b)

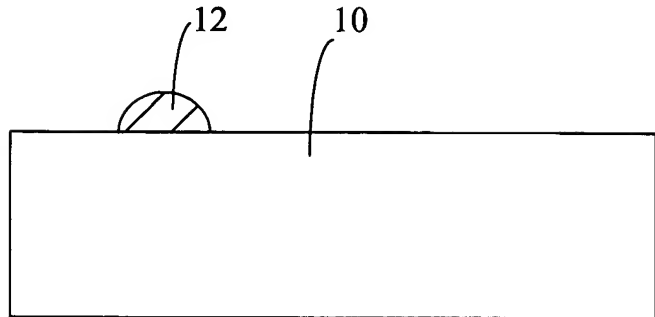


Fig. 12(a)

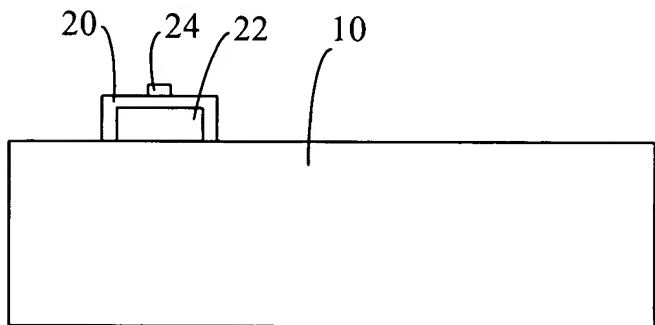
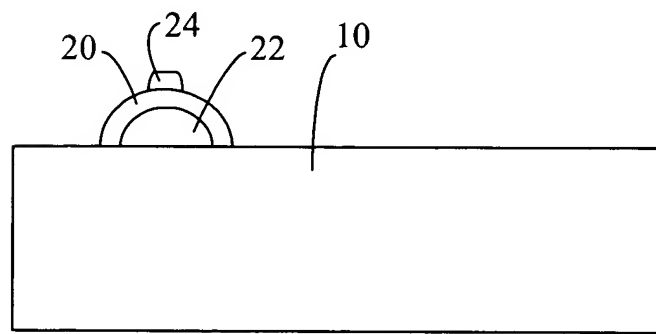


Fig. 12(b)



J. Lille  
SJO920000168US3  
Sheet 10/10

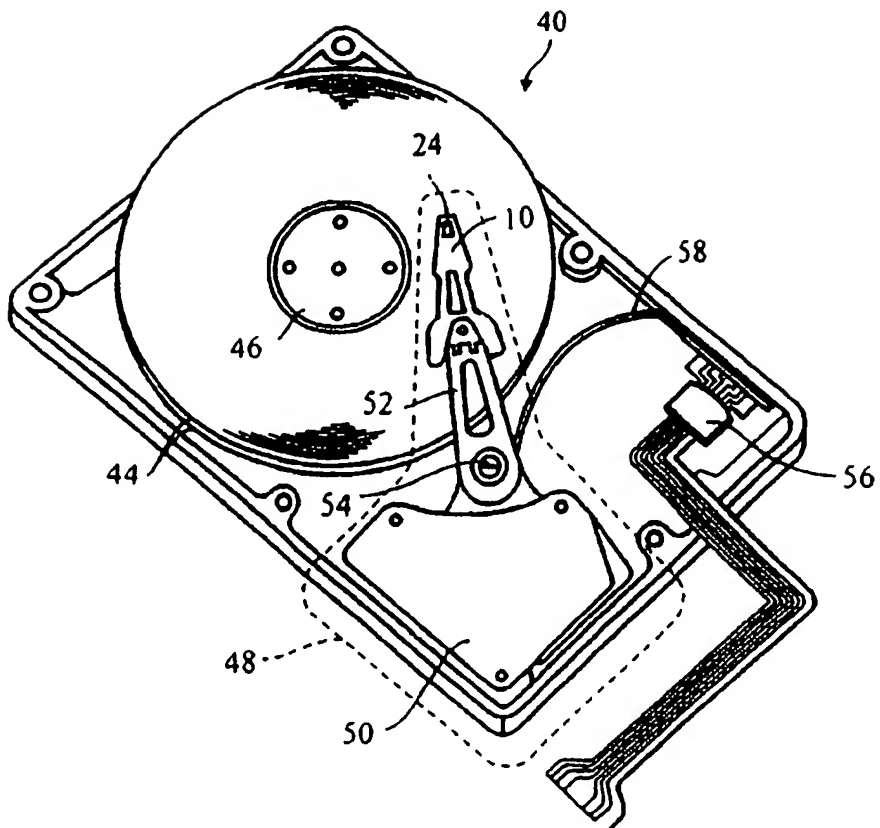


Fig. 13